



Mecânica do Voo

Estabilidade e Controle 3.2







I. INTRODUÇÃO À ESTABILIDADE E CONTROLE

II. ESTABILIDADE ESTÁTICA E CONTROLE

III. ESTABILIDADE ESTÁTICA E CONTROLE II

1ª PARTE: Longitudinal

2ª PARTE: Látero-Direcional

Referências:

1. Bernard Etkin, Lloyd Duff Reid, [Dynamics of Flight – Stability and Control](#), John Wiley & Sons, 3ª Ed, 1996.

Capa:

C-12C #73-1215 flies above Calspan Corp's 'Variable Stability' Lear-25 N102VS during an in-flight autonomous aerial refueling test, conducted by the USAF Test Pilot School. The C-12C is simulating a tanker, while the Lear is simulating an autonomous receiving aircraft.

http://www.thenorthspin.com/page_official_usaf_mixedflights.html (Acesso em 31 JUL 2011).



9. AERODINÂMICA LATERAL

Na primeira parte desse capítulo e no capítulo anterior, estudamos as características aerodinâmicas de configurações simétricas voando com o vetor velocidade no plano de simetria.

As únicas variáveis de movimento não nulas eram: E as únicas forças e momentos não nulos eram:

→ V
→ α
→ q

✈ T
✈ D
✈ L
✈ M

Agora vamos estudar os casos onde o vetor velocidade não está mais restrito ao plano de simetria, onde os deslocamentos em guinada β e rolamento ϕ estão presentes. Os coeficientes de força e momento associados são:

Y side-force

L rolling moment

N yawing moment

✈ C_y

✈ C_l

✈ C_n

side-force coefficient

rolling-moment coefficient

yawing-moment coefficient



Um dos aspectos simplificadores do movimento longitudinal é que a rotação é em torno de um eixo apenas (o eixo y).

Essa simplificação é perdida quando analisamos o movimento lateral, uma vez que a rotação ocorre em dois eixos (x e z). Os momentos associados com essa rotação são acoplados:

- Uma rotação em rolamento p produz um momento de guinada C_n , além do momento de rolamento C_l .
- Um deslocamento em guinada β e uma razão de guinada r produzem momentos de guinada C_n e rolamento C_l .

Controles de rolamento e guinada também estão sujeitos a acoplamentos:

- Deflexão de ailerons pode originar momentos de guinada significativos.
- Deflexão de leme pode originar momentos de rolamentos também significativos.





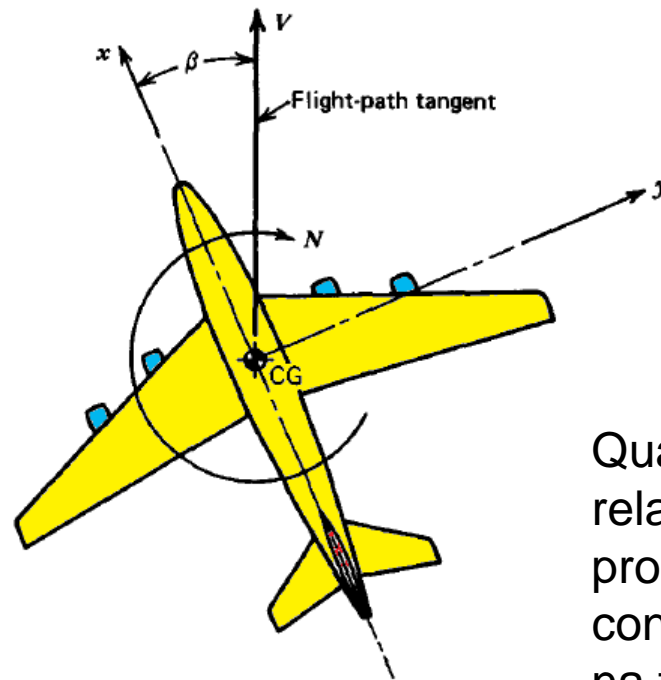
Outra diferença importante entre o movimento longitudinal e o látero-direcional é que no voo reto e nivelado, o movimento é simétrico e todas as variáveis de força e movimento látero-direcionais são nulas. **Portanto, não existe problema fundamental de trimagem: Os ailerons e leme permaneceriam nominalmente não defletidos.** Porém, na realidade, esses controles têm uma função secundária de trimagem caso a aeronave apresente alguma assimetria geométrica ou inercial, como, por exemplo:

- Um motor inoperante.
- Múltiplas hélices, todas girando no mesmo sentido.

Devido ao fato de que o vetor gravidade no voo reto e nivelado está situado no plano de simetria, a posição do CG não é um parâmetro dominante para as características látero-direcionais como é para as características longitudinais. Assim, os limites do CG vistos na seção anterior são governados por considerações de suas características longitudinais.

10. ESTABILIDADE DIRECIONAL – RIGIDEZ EM GUINADA

A aplicação do princípio da estabilidade estática à rotação em torno do eixo z, sugere que o avião estável deva ter uma tendência a se alinhar com o vento relativo, similar ao comportamento do galo dos ventos. Por isso, em inglês, essa estabilidade é conhecida como *weathercock stability*.



Sideslip angle and yawing moment.



Quando o avião está a um ângulo de derrapagem β em relação à sua trajetória de voo, o momento de guinada produzido deve ser tal que restabeleça o voo simétrico. A convenção para momento de guinada positivo é a mostrada na figura ao lado. Assim, o requisito para rigidez em guinada positivo é que $\partial N / \partial \beta$ seja positivo.



O coeficiente de guinada adimensionalizado é:

$$C_n = \frac{N}{\frac{1}{2} \rho V^2 S b}$$

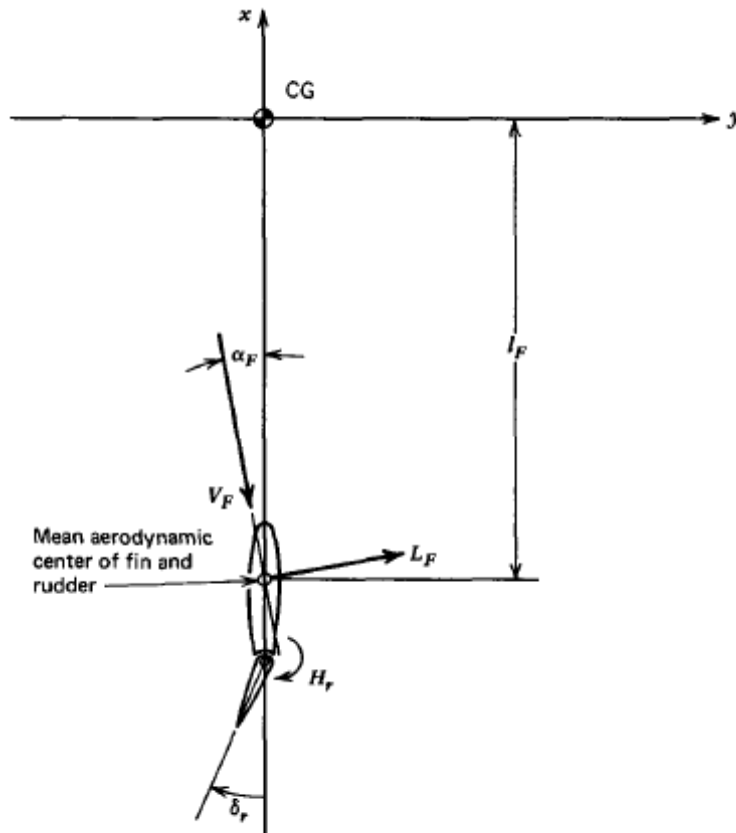
$b \Rightarrow$ Envergadura

Portanto, para uma rigidez em guinada positiva devemos ter $\partial C_n / \partial \beta$ também positivo. A notação mais empregada para essa derivada é:

$$C_{n_\beta} = \frac{\partial C_n}{\partial \beta}$$

Essa quantidade é análoga em muitos sentidos ao seu similar longitudinal C_{m_α} . É estimado de maneira similar pela síntese da contribuição dos diversos componentes do avião. A principal contribuição é devido à superfície da fuselagem e da empenagem vertical. Contrastando com C_{m_α} , a asa tem pouca influência na maioria dos casos, assim como a posição do CG.

A figura abaixo mostra a geometria relevante e a força de sustentação L_F atuando na superfície da empenagem vertical.



Vertical-tail sign conventions.

Se a superfície estivesse sozinha no escoamento livre, o vetor velocidade V_F seria a velocidade do escoamento livre, de modo que α_F seria igual a $-\beta$. Quando instalado no avião, ocorrem mudanças na magnitude e direção no escoamento local na empenagem vertical. Essas mudanças podem ser causadas pelo *slipstream* da hélice, e pela asa e fuselagem quando o avião está guinando. Assim, temos o aparecimento do ângulo de sidewash σ , o análogo direcional do downwash.

Um ângulo de sidewash σ positivo corresponde a um escoamento na direção y, ou seja, quando tende a aumentar o valor de α_F .



Assim, o ângulo de ataque na empenagem vertical é:

$$\alpha_F = -\beta + \sigma$$

E o coeficiente de sustentação na superfície da empenagem vertical é:

$$C_{LF} = a_F (-\beta + \sigma) + a_r \delta_r$$

A sustentação é dada por:

$$L_F = C_{LF} \frac{1}{2} \rho V_F^2 S_F$$

E o momento de guinada é dado por:

$$N_F = -C_{LF} \frac{1}{2} \rho V_F^2 S_F \ell_F$$

Assim:

$$C_{n_F} = -C_{LF} \frac{S_F \ell_F}{Sb} \left(\frac{V_F}{V} \right)^2$$

A razão $S_F \ell_F / Sb$ é análoga ao volume de cauda da empenagem horizontal, e, portanto, é chamada de volume de cauda da empenagem vertical (*vertical-tail volume ratio*) e é denotada por V_V . Assim:

$$C_{n_F} = -V_V C_{LF} \left(\frac{V_F}{V} \right)^2$$



A correspondente contribuição para a estabilidade direcional é dada por:

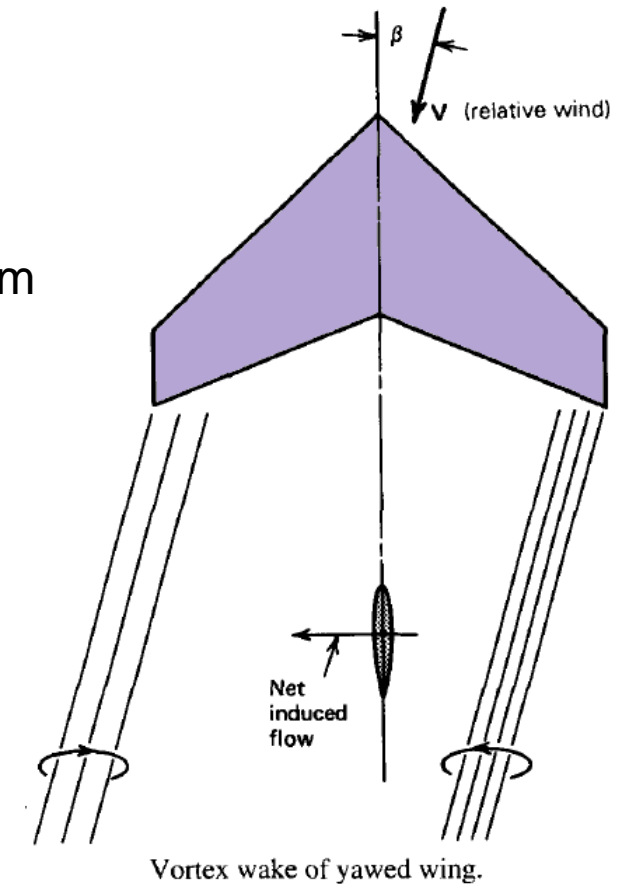
$$\frac{\partial C_{n_F}}{\partial \beta} = -V_v \left(\frac{V_F}{V} \right)^2 \frac{\partial C_{L_F}}{\partial \beta} = V_v a_F \left(\frac{V_F}{V} \right)^2 \left(1 - \frac{\partial \sigma}{\partial \beta} \right)$$

O Fator de Sidewash $\partial\sigma/\partial\beta$

As principais partes que influenciam o sidewash são:

- ✈ Fuselagem
- ✈ Hélice
- ✈ Asa

...e esta influência ocorre devido à força lateral associada a um voo com ângulo β não nulo.





A Razão de Velocidades V_F/V

Quando a empenagem vertical não está no *slipstream* da hélice, a razão V_F/V é igual à unidade.
Quando a empenagem está sujeita a um *slipstream*, a determinação do incremento na velocidade efetiva pode ser feita de maneira análoga ao da empenagem horizontal.



http://en.wikipedia.org/wiki/Vought_V-173

<https://www.youtube.com/watch?v=LfpTDOAfj7Y>

Efeito Magnus (Curiosidade):

<https://www.youtube.com/watch?v=QlXNEefLXz8>

<https://www.youtube.com/watch?v=acXvl-8xrBM>



11. CONTROLE DE GUINADA

Na maioria das condições de voo é desejável manter o ângulo de derrapagem nulo. Se o avião tiver rigidez de guinada positiva (*positive yaw stiffness*), e se for simétrico, ele tenderá a voar nessa condição.

Momentos de guinada podem ser devido às seguintes causas:

- Tração assimétrica.
- *Slipstream*.
- Escoamento assimétrico associado a voo em curva.



Nessas situações de voo derrapado (β não nulo), β pode ser zerado pela aplicação do leme, que vai gerar um momento de guinada, que vai controlar valor de β , levando-o a zero.

Outra condição que requer o uso do leme é na glissada, uma manobra muito utilizada por aviões leves para aumentar o arrasto, e, dessa forma, aumentar o ângulo de planeio.

A maior diferença entre o leme e o profundor é que para o profundor a trimagem é uma função primária. Fora isso, o tratamento dos dois comandos são similares.





Lembrando que...

$$C_{LF} = a_F (-\beta + \sigma) + a_r \delta_r$$

$$C_{nF} = -V_V C_{LF} (V_F/V)^2$$

...temos que a variação do momento de guinada com a deflexão de leme é dada por:

$$C_{n\delta_r} = \frac{\partial C_n}{\partial \delta_r} = -V_V \left(\frac{V_F}{V} \right)^2 \frac{\partial C_{LF}}{\partial \delta_r} = -a_r V_V \left(\frac{V_F}{V} \right)^2$$

Essa derivada é chamada “**potência do leme**”. Ela deve ser grande o suficiente para manter a condição de derrapagem nula sob as condições mais extremas de tração assimétrica e voo em curva.



Um outro parâmetro de importância com respeito ao controle do leme é o ângulo de derrapagem estacionário (*steady sideslip angle*) que pode ser mantido para um dado ângulo de deflexão de leme. O momento total de guinada durante uma derrapagem estacionária é:

$$C_n = C_{n\beta}\beta + C_{n\delta_r}\delta_r$$



Para um movimento estacionário, $C_n = 0$, e, portanto, essa relação é dada por:

$$\frac{\beta}{\delta_r} = - \frac{C_{n\delta_r}}{C_{n\beta}}$$

O momento de articulação do leme e a força nos pedais pode ser tratada de maneira similar à realizada para o profundor. Consideremos que o momento de articulação seja dado por:

$$C_{hr} = b_1\alpha_F + b_2\delta_r$$





A força nos pedais é dada por:

$$P = G \frac{\rho}{2} V_F^2 S_r c_r (b_1 \alpha_F + b_2 \delta_r)$$

Substituindo o valor de α_F , temos:

$$P = G \frac{\rho}{2} V_F^2 S_r c_r [b_1 (-\beta + \sigma) + b_2 \delta_r]$$



Onde G é o *gearing* do sistema de leme.

O efeito de um leme livre na estabilidade direcional é encontrada pela condição de $C_{hr} = 0$. Assim, temos:

$$\delta_{r\text{free}} = -\frac{b_1}{b_2} \alpha_F$$

O coeficiente de sustentação da empenagem vertical com o leme livre é:

$$C_{L_F} = a_F (-\beta + \sigma) + a_r \delta_r \quad \Rightarrow \quad C'_{L_F} = a_F \alpha_F - a_r \frac{b_1}{b_2} \alpha_F = a_F \alpha_F \left(1 - \frac{a_r}{a_F} \frac{b_1}{b_2} \right)$$

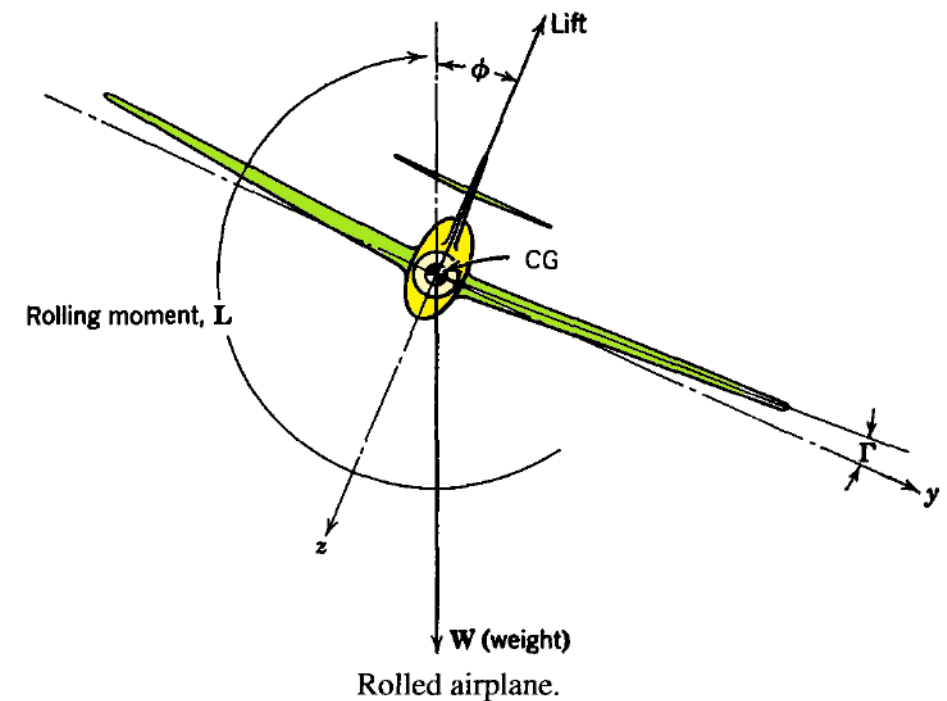
O fator de controle livre para o leme tem a mesma forma que o fator de profundor livre visto anteriormente.

12. RIGIDEZ DE ROLAMENTO

Imagine um avião com seu movimento restrito a um grau de liberdade apenas, em torno do eixo longitudinal (eixo x).

As forças e momentos que resultam de um dado deslocamento angular ϕ têm uma natureza diferente daquelas associadas com α e β .

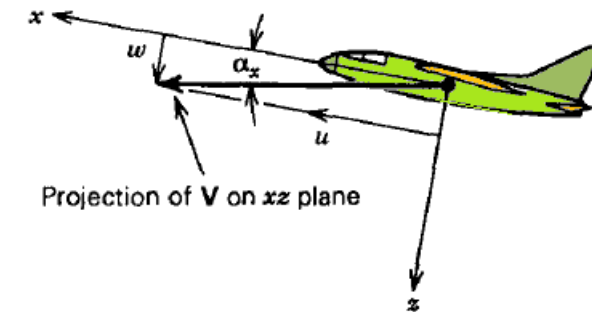
Se o eixo x coincide com o vetor velocidade V , não haverá qualquer variação na aerodinâmica devido à rotação ϕ . O campo aerodinâmico permanece simétrico com relação ao plano de simetria, a força aerodinâmica resultante permanece no plano de simetria e nenhuma variação ocorre nos coeficientes aerodinâmicos. A rigidez de rolamento $\partial C_l / \partial \phi = C_{l_\phi}$ é nula nesse caso.



Se o eixo x não coincide com o vetor velocidade V , então uma rigidez de rolamento de segunda ordem é determinada através da derivada de estabilidade $\partial C_l / \partial \beta = C_{l_\beta}$.

Conforme vimos no início da disciplina, vamos considerar α_x como sendo a projeção do ângulo de ataque no eixo x . Então, o vetor velocidade quando $\phi=0$ é:

$$V_1 = \begin{bmatrix} V \cos \alpha_x \\ 0 \\ V \sin \alpha_x \end{bmatrix}$$



Após rolar de um ângulo ϕ em torno do eixo x , a componente x do vetor velocidade permanece inalterada. Porém, a componente z tem projeções nos novos eixos y e z . Assim, agora existe um ângulo de derrapagem β não nulo e um momento de rolamento.

O vetor velocidade no novo sistema de referência, após sofrer uma rotação ϕ é dado por (ver apêndice A.4 do Etkin):

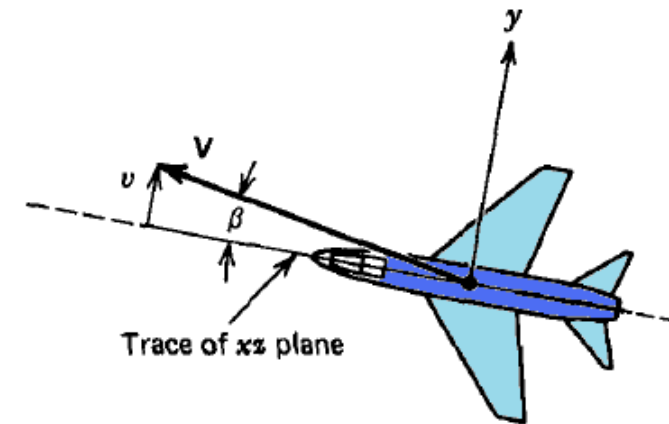
$$V_2 = \begin{bmatrix} 1 & 0 & 0 \\ 0 & \cos \phi & \sin \phi \\ 0 & -\sin \phi & \cos \phi \end{bmatrix} \begin{bmatrix} V \cos \alpha_x \\ 0 \\ V \sin \alpha_x \end{bmatrix} = \begin{bmatrix} V \cos \alpha_x \\ V \sin \alpha_x \sin \phi \\ V \sin \alpha_x \cos \phi \end{bmatrix}$$

Assim, a componente de través da velocidade é:

$$v = V \sin \alpha_x \sin \phi$$

... e o ângulo de derrapagem é:

$$\beta = \sin^{-1}(v/V) = \sin^{-1}(\sin \alpha_x \sin \phi)$$



Como resultado de um β positivo e de um usual $C_{l\beta}$ negativo, é um momento de rolamento restaurador $C_{l\beta} \beta$, ou seja:

$$\Delta C_l = C_{l\beta} \sin^{-1}(\sin \alpha_x \sin \phi)$$

Para pequenos valores de α_x , temos:

$$\Delta C_l \doteq C_{l\beta} \sin^{-1}(\alpha_x \sin \phi) \doteq C_{l\beta} \alpha_x \sin \phi$$

E para pequenos valores de ϕ temos:

$$\Delta C_l \doteq C_{l\beta} \alpha_x \phi$$

Usando:

$$\Delta C_l = C_{l_\beta} \sin^{-1} (\sin \alpha_x \sin \phi)$$

...podemos calcular a rigidez de rolamento em torno do eixo x:

$$\frac{\partial C_l}{\partial \phi} = C_{l_\beta} \frac{\sin \alpha_x \cos \phi}{(1 - \sin^2 \alpha_x \sin^2 \phi)^{1/2}}$$

Para $\alpha_x \ll 1$ ($\ll 57,3$ graus), temos:

$$\frac{\partial C_l}{\partial \phi} \doteq C_{l_\beta} \alpha_x \cos \phi$$

E para $\phi \ll 1$, temos:

$$\frac{\partial C_l}{\partial \phi} \doteq C_{l_\beta} \alpha_x$$



NASA Dryden's highly-modified Active Aeroelastic Wing F/A-18A shows off its form during a 360-degree aileron roll during a research flight.
<http://www.nasa.gov/centers/dryden/news/FactSheets/FS-061-DFRC.html>



$$\frac{\partial C_l}{\partial \phi} \doteq C_{l\beta} \alpha_x$$

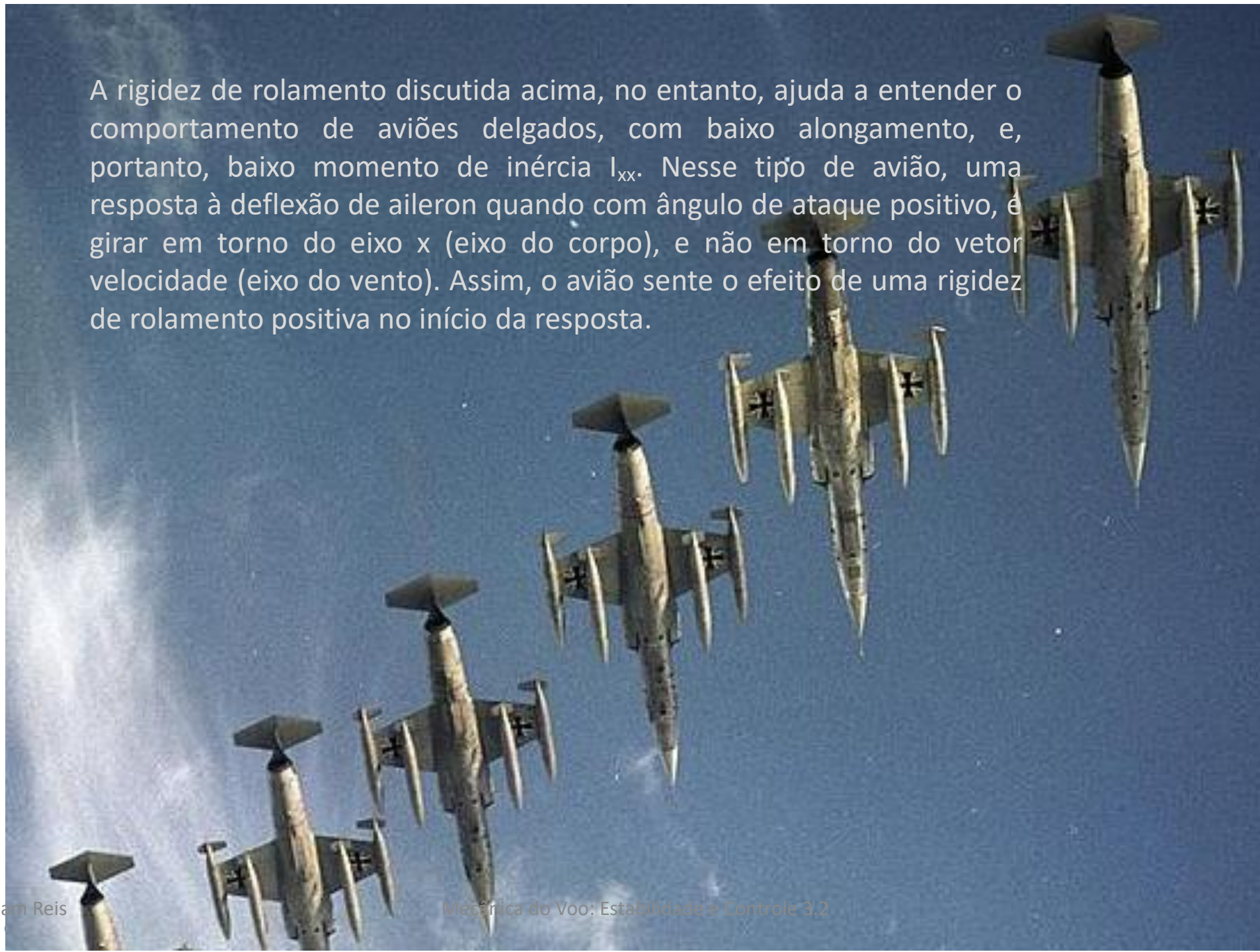
Assim, existirá uma rigidez em rolamento que se opõe ao rolamento se α_x for maior que zero, e tenderá a manter as asas niveladas.

Caso o rolamento ocorra em torno do vetor velocidade, a rigidez de rolamento é nula. Assim, o avião terá uma estabilidade em rolamento neutra.

Se $\alpha_x < 0$, então o avião terá uma rigidez de rolamento negativa, e rolaria até a atitude de $\phi = 180$ graus, ponto onde $C_l = 0$ e $C_{l\beta} < 0$.

Conforme assumido no início dessa seção, a análise acima se aplica a um movimento restrito em torno do eixo longitudinal, apenas, ou seja, restrito a um único grau de liberdade. Se essa restrição fosse suprimida, o avião estaria livre para girar em todos os eixos. Então, o que aconteceria se ele rolasse a partir de uma atitude de asas niveladas? Ele tenderia a retornar para seu estado inicial ou não? Essa resposta só pode ser dada por meio de uma análise dinâmica completa.

A rigidez de rolamento discutida acima, no entanto, ajuda a entender o comportamento de aviões delgados, com baixo alongamento, e, portanto, baixo momento de inércia I_{xx} . Nesse tipo de avião, uma resposta à deflexão de aileron quando com ângulo de ataque positivo, é girar em torno do eixo x (eixo do corpo), e não em torno do vetor velocidade (eixo do vento). Assim, o avião sente o efeito de uma rigidez de rolamento positiva no início da resposta.



Embora aviões tenham rigidez de rolamento (*first-order aerodynamic roll stiffness*) $C_{l\dot{\phi}}$ nula, aviões estáveis apresentam uma tendência própria a voar com as asas niveladas devido ao efeito diedro. Esse efeito depende de $C_{l\beta}$ e da gravidade. Quando o avião está com um ângulo de rolamento ϕ , existe uma componente do peso $mg \sin \phi$ na direção y .

Isso induz a uma velocidade na direção y , para a direita, resultando em um $\beta > 0$, e um momento de rolamento $C_{l\beta} \beta$ que tende a trazer a asa para a condição nivelada.

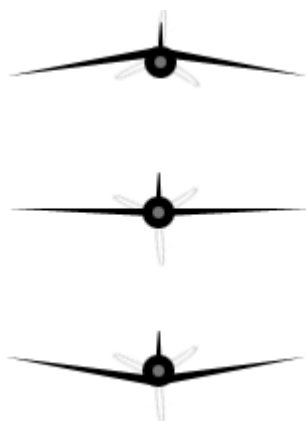
O movimento de rolamento e guinada que ocorrem a partir de uma condição inicial são altamente acoplados, e nenhuma conclusão pode ser retirada sobre seu comportamento sem realizar uma análise dinâmica.

13. A DERIVADA $C_{l\beta}$

A derivada de estabilidade $C_{l\beta}$ é de fundamental importância! Nos estudos que acabamos de fazer na última seção, vimos sua relação com a rigidez de rolamento e com a tendência do avião em voar com as asas niveladas.

A contribuição primária ao $C_{l\beta}$ vem da asa, através de:

- ✈ Ângulo de diedro.
- ✈ Alongamento.
- ✈ Enflechamento.



Low aspect ratio



Moderate aspect ratio



High aspect ratio



Straight



Swept



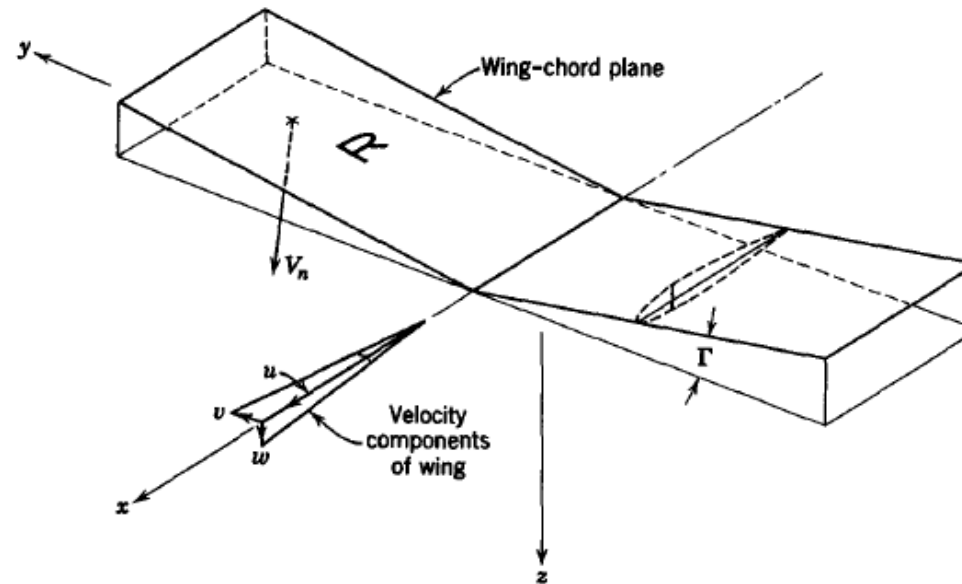
Forward swept

O efeito do diedro da asa é mostrado na figura abaixo. No sistema de coordenada utilizado, a componente da velocidade normal V_n da asa direita é, para pequenos ângulo de diedro:

$$V_n = w \cos \Gamma + v \sin \Gamma \\ \doteq w + v\Gamma$$

E para a asa esquerda é

$$w - v\Gamma$$



Dihedral effect. V_n = normal velocity of panel $R = w \cos \Gamma + v \sin \Gamma \doteq w + v\Gamma \therefore$

$$\Delta\alpha \text{ of } R \text{ due to dihedral} \doteq \frac{v\Gamma}{V} = \frac{V\beta\Gamma}{V} = \beta\Gamma.$$

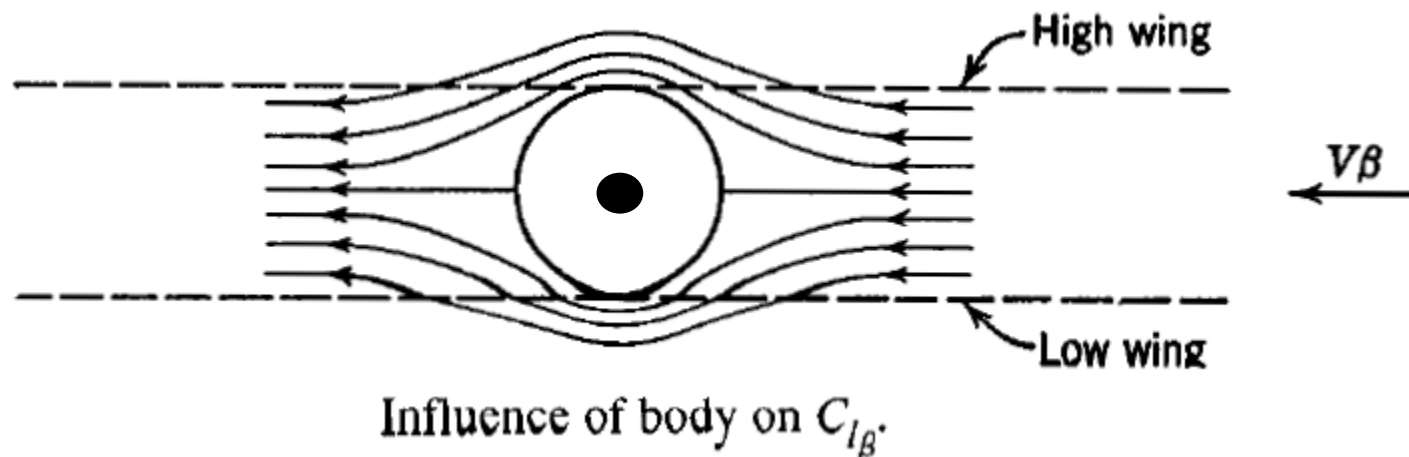


Os termos $\pm v\Gamma/V = \pm\beta\Gamma$ representam variações opostas no ângulo de ataque da asa direita e esquerda, resultando em derrapagem.

A asa levantada tem seu ângulo de ataque aumentando, resultando num aumento de sua sustentação, e vice versa. Isso resulta em um momento de rolamento aproximadamente linear em β e Γ , e, portanto, um valor fixo de $C_{l\beta}$ para um dado Γ . Essa parte de $C_{l\beta}$ é essencialmente independente do ângulo de ataque da asa enquanto não haja descolamento.

A Influência da Fuselagem em $C_{l\beta}$

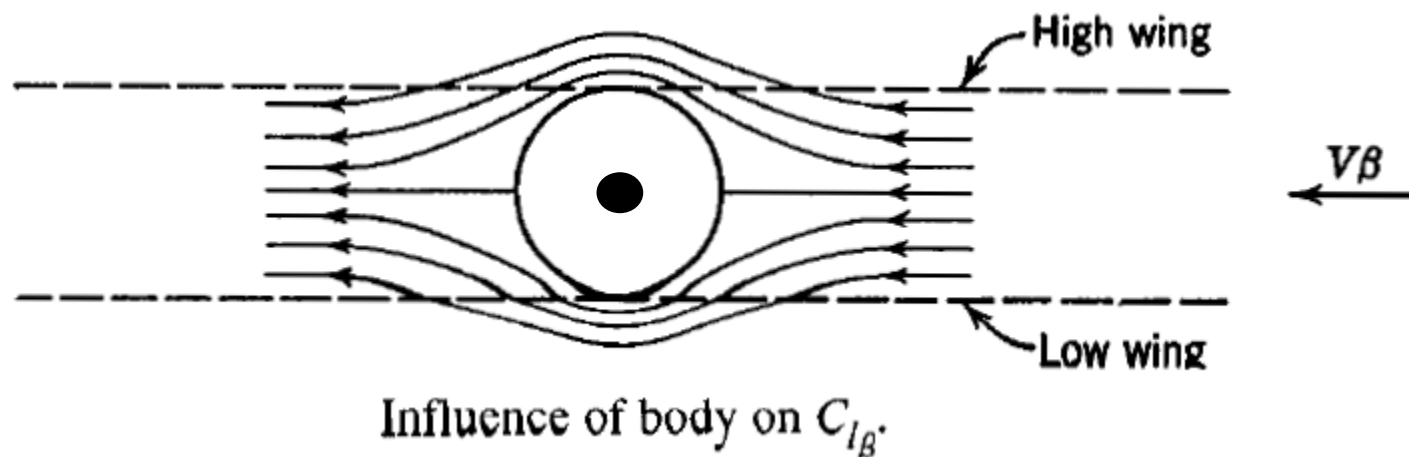
O campo de escoamento da fuselagem interage com a asa de tal maneira que ele modifica seu efeito diedro. Para melhor visualizar isso, considere um corpo cilíndrico abaixo, sob a ação de uma guinada com relação ao escoamento principal. Consideremos apenas a componente de través do escoamento, com magnitude $V\beta$ e o padrão do escoamento que é produzido em torno do corpo.



A Influência da Fuselagem em $C_{l\beta}$

Podemos observar que o corpo induz velocidades verticais que, quando combinados com o campo de velocidades do escoamento principal, altera o ângulo de ataque local da asa.

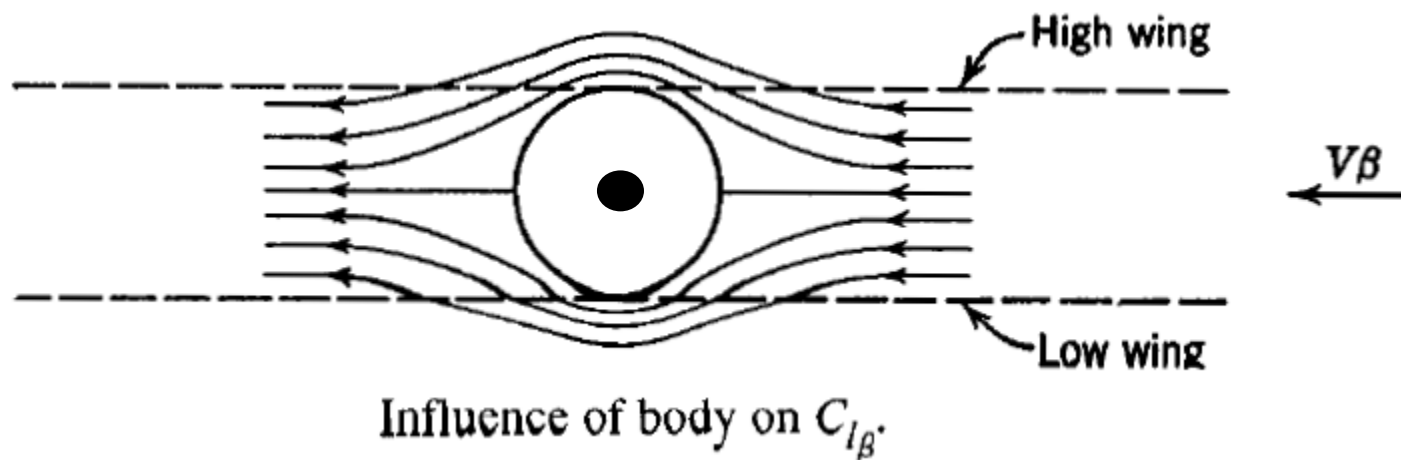
→ Quando a posição da asa é no topo do corpo (asa alta), a distribuição de ângulo de ataque é tal que produz momento de rolamento negativo, ou seja, o efeito diedro é amplificado.



A Influência da Fuselagem em $C_{l\beta}$

→ Quando a posição da asa é na base do corpo (asa baixa), o efeito diedro é abreviado.

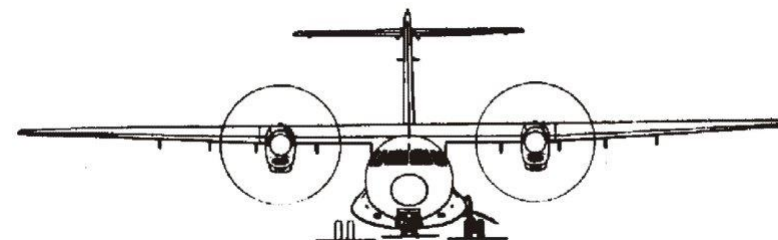
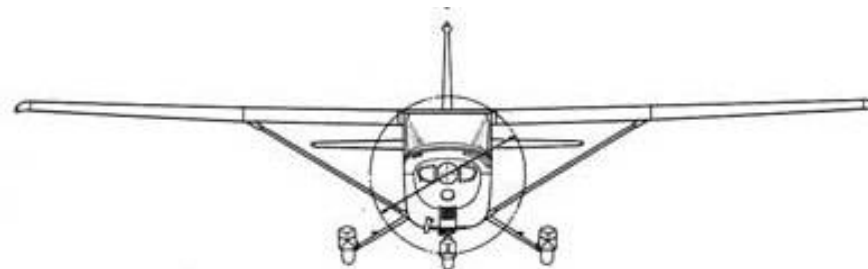
A magnitude do efeito diedro depende do comprimento da fuselagem à frente da asa, da seção transversal da fuselagem, e da forma em planta e localização da asa.





A Influência da Fuselagem em $C_{l\beta}$

Isso explica o porquê de aviões asas alta usualmente apresentarem menos diedro que os seus similares asas baixa.

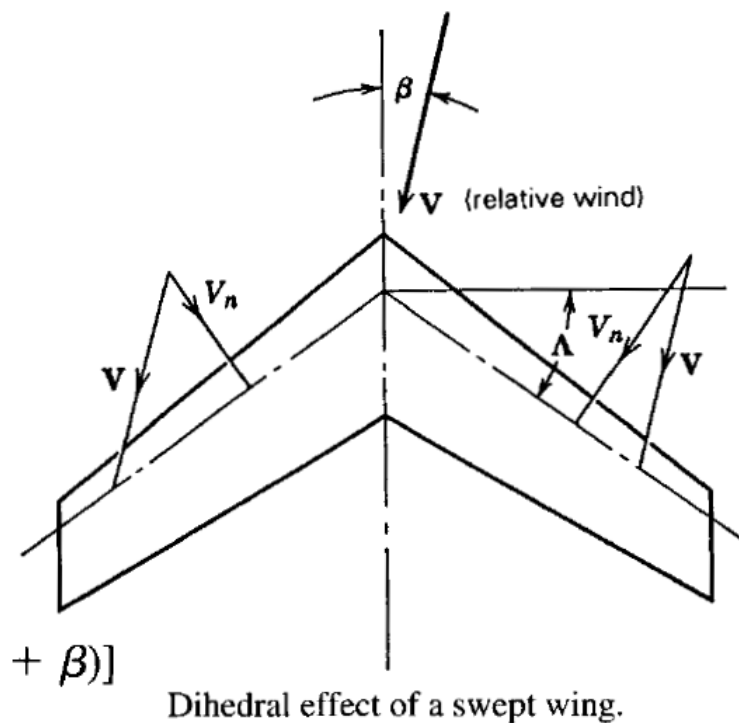


A Influência do Enflechamento em $C_{l\beta}$

O enflechamento da asa é um dos parâmetros que tem muita influência no valor de $C_{l\beta}$. Considere a asa sob a ação de uma guinada, como mostrado na figura. De acordo com a *simple sweep theory* de Buseman-Jones, a velocidade normal V_n à linha de referência da asa (1/4 de corda para o regime subsônico, e bordo de ataque para o regime supersônico) é a velocidade que determina a sustentação.

Portanto, vemos que a sustentação na asa de boreste é maior que a sustentação da asa de bombordo, resultando em um momento de rolamento negativo. O momento de rolamento para valores de β pequenos é esperado ser proporcional à:

$$\begin{aligned} C_L[(V_n^2)_{\text{right}} - (V_n^2)_{\text{left}}] &= C_L V^2 [\cos^2(\Lambda - \beta) - \cos^2(\Lambda + \beta)] \\ &\doteq 2C_L \beta V^2 \sin 2\Lambda \end{aligned}$$



A Influência da Empenagem Vertical em $C_{l\beta}$

O avião quando derrapa surge uma força lateral na empenagem vertical. Quando a posição do centro aerodinâmico médio da empenagem vertical é muito deslocada com relação ao eixo de rolamento, então essa força pode produzir um momento de rolamento significativo.

Para calcular o momento de rolamento, vimos que:

$$C_{LF} = a_F (-\beta + \sigma) + a_r \delta_r$$

Quando o ângulo de deflexão do leme é zero, e o momento de rolamento devido à empenagem vertical é:

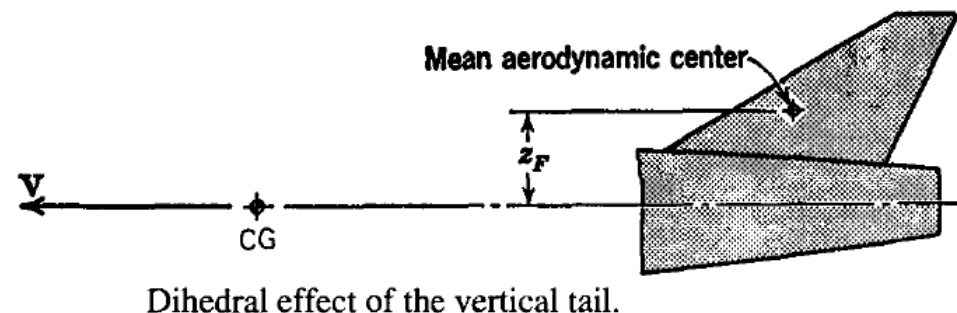
$$a_F (-\beta + \sigma) \frac{\rho}{2} V_F^2 S_F z_F$$

Assim:

$$\Delta C_l = a_F (-\beta + \sigma) \frac{S_F z_F}{Sb} \left(\frac{V_F}{V} \right)^2$$

E, portanto:

$$\Delta C_{l\beta} = -a_F \left(1 - \frac{\partial \sigma}{\partial \beta} \right) \frac{S_F z_F}{Sb} \left(\frac{V_F}{V} \right)^2$$



14. CONTROLE DE ROLAMENTO

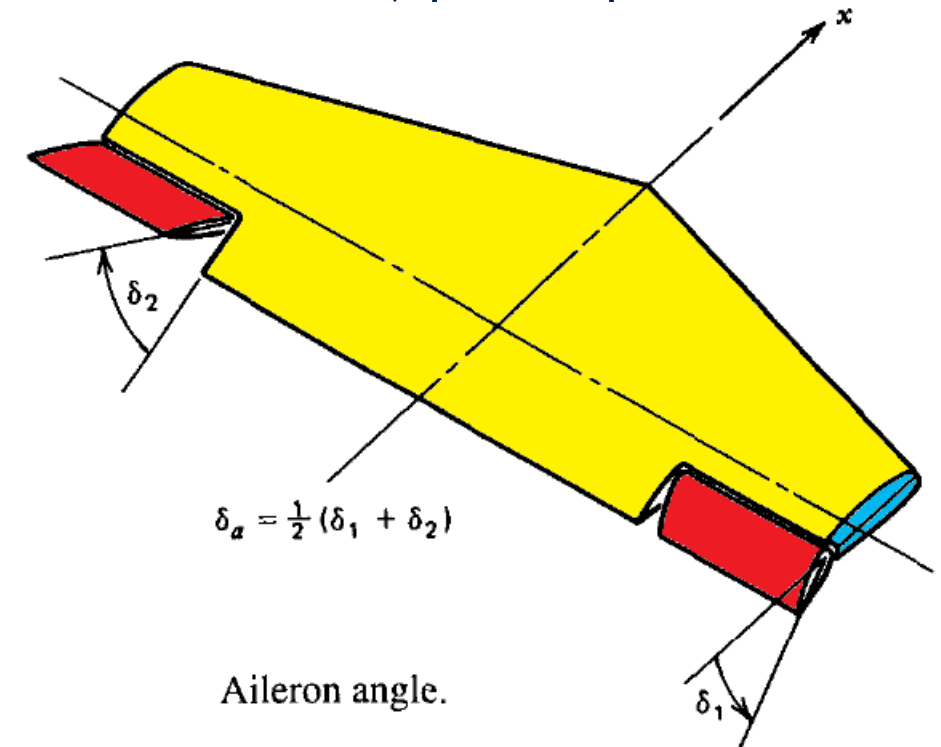
O ângulo de rolamento do avião é controlado pelos ailerons.

A função primária dos ailerons é produzir momento de rolamento, porém podem como efeito secundário gerar momento de guinada.

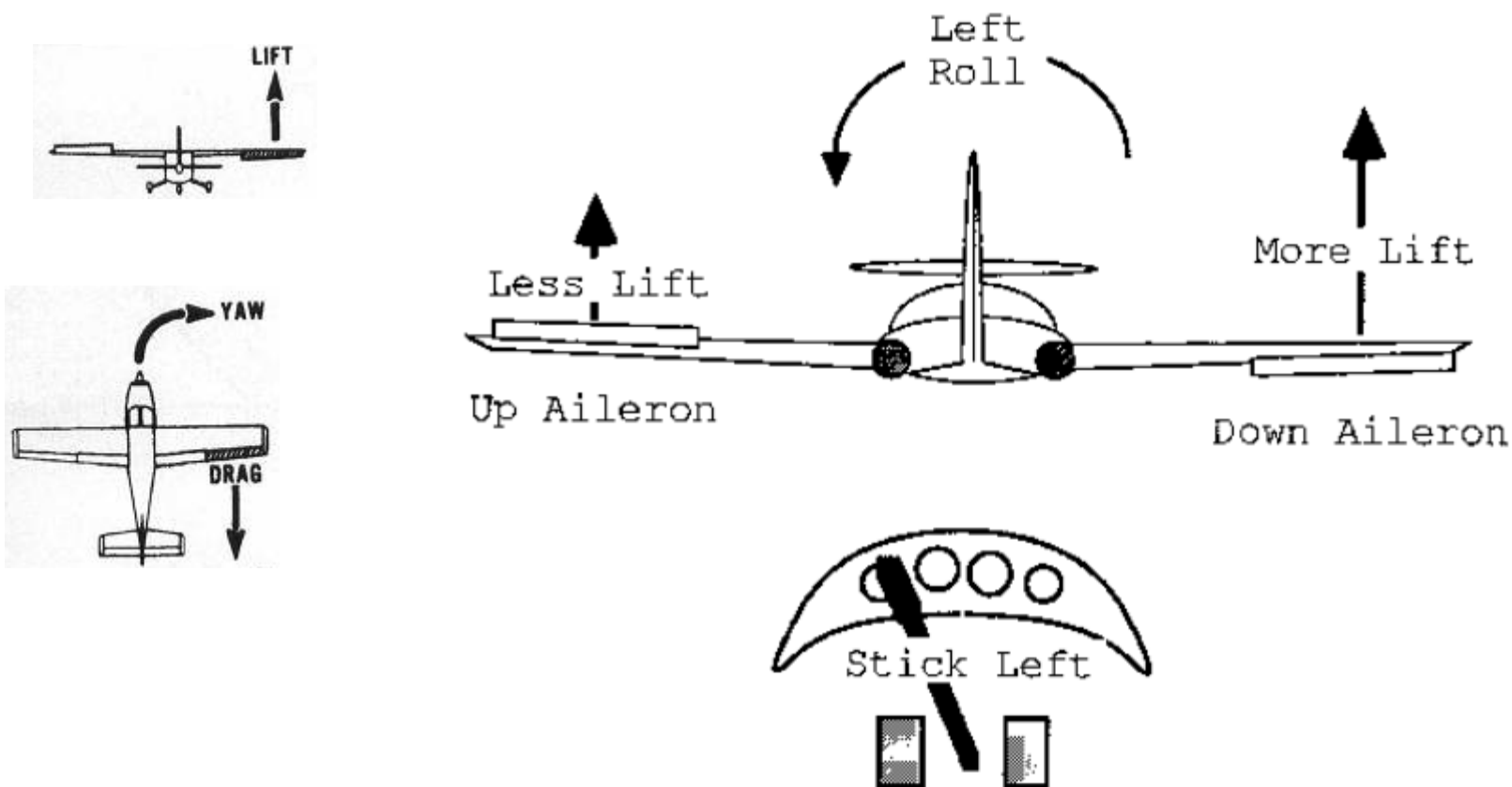
A eficiência dos ailerons em produzir momento de rolamento e guinada é descrita pela derivadas de controle $\partial C_\ell / \partial \delta_a$ e $\partial C_n / \partial \delta_a$.

O ângulo δ_a é definido como a média do deslocamento de ambos os ailerons. É positivo quando o ailerons direito move para baixo.

A derivada $\partial C_\ell / \partial \delta_a$ é normalmente é negativa, ou seja, aileron direito para baixo resulta em rolamento para a esquerda.



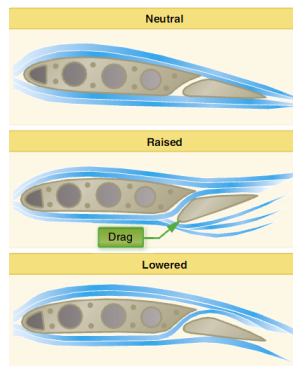
Para ailerons do tipo flap simples, o aumento na sustentação na asa direita e o decréscimo de sustentação na asa esquerda produz um arrasto diferencial que gera um momento de guinada positivo (nariz para a direita).



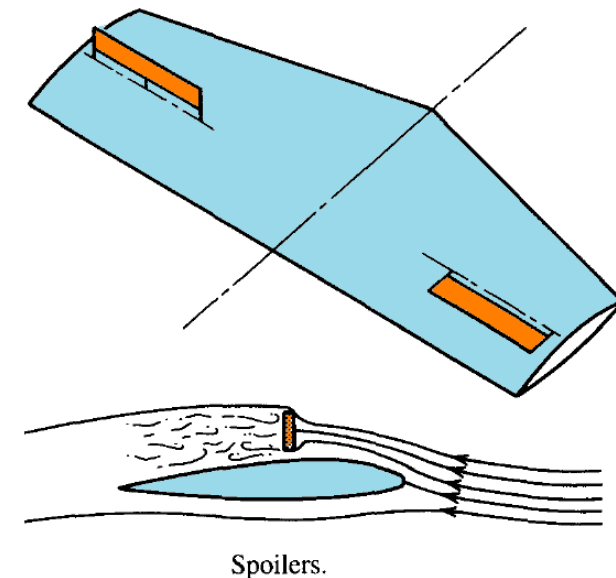
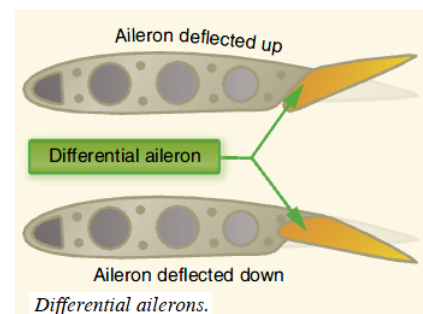
Uma vez que a razão para se mover o aileron direito para baixo é para iniciar uma curva para a esquerda, então o momento de guinada gerado ocorre na direção contrária à desejada para efetuar a curva. É a chamada guinada adversa.

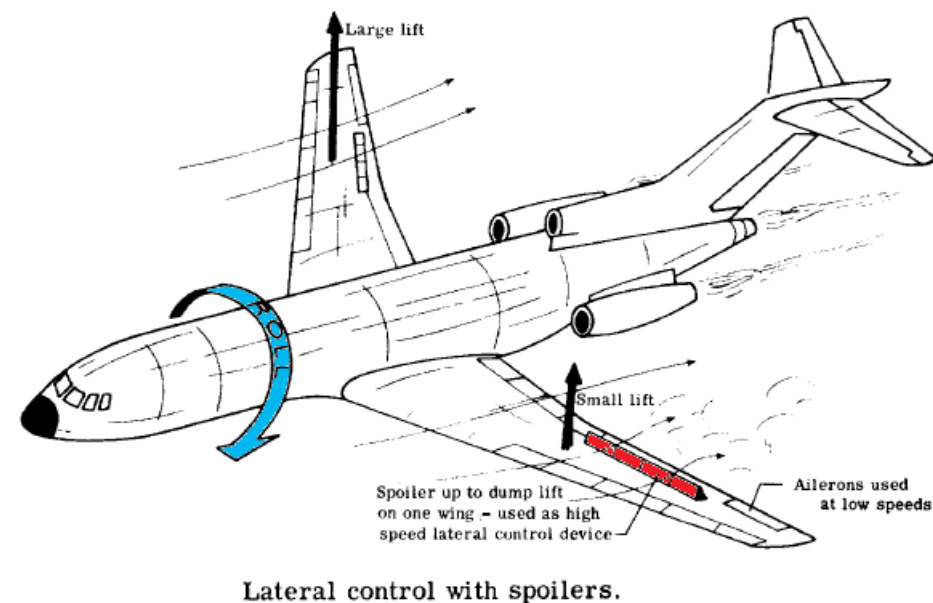
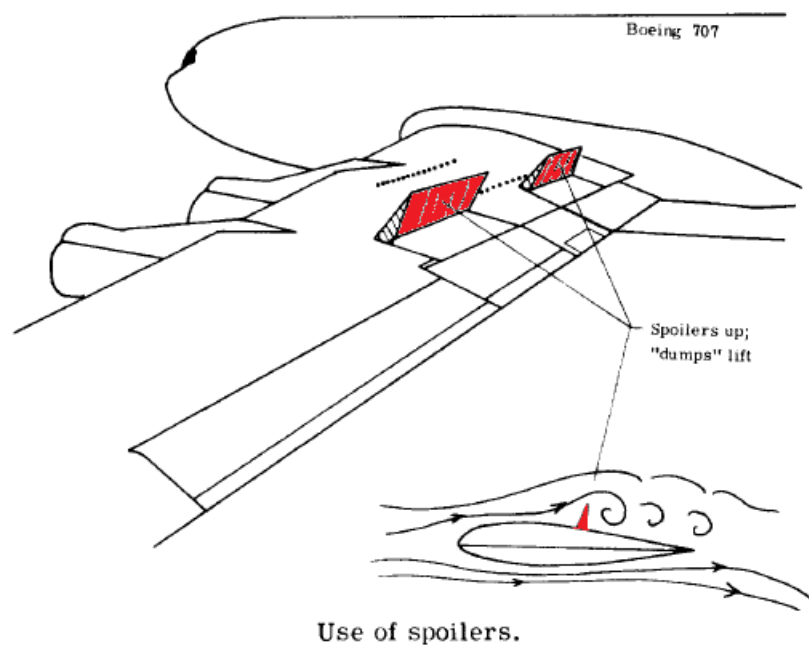
Em aviões com grande alongamento, essa tendência pode resultar em dificuldades no controle lateral. Soluções para contornar esse problema incluem:

- ⇒ Ailerons frise
- ⇒ Ailerons diferenciais
- ⇒ Spoilers



Frise-type ailerons.





Introduction to Aerodynamics of Flight [Talay]



Com relação à utilização dos ailerons como controle, existe uma característica importante e particular desse comando de voo. Ao contrário do profundor e leme, que funcionam como **controle de deslocamento** (*displacement controls*), os ailerons funcionam como **controle de razão** (*rate controls*). Quando o avião está restrito a um movimento em um único grau de liberdade, uma deflexão de cada uma dessas superfícies causa em seu eixo relevante o seguinte:

- Profundor \Rightarrow Mudança em α ou θ .
- Leme \Rightarrow Mudança de β ou ψ .
- Aileron \Rightarrow Impõe um velocidade angular $p = d\phi/dt$.

Tanto o controle por de deslocamento quanto o controle de razão são bem aceitos pelos pilotos humanos.

- **VFR (Visual Flight Rules):** no linguajar comum, “voo visual” (cuidado!!!!)
- **IFR (Instrument Flight Rules):** o chamado “voo por instrumentos”

15. REVERSÃO DE AILERONS

O momento de rolamento total devido a deflexão dos ailerons é dado por:

$$\Delta C_l = (C_{l_{\delta_a}})_{\text{rigid}} \delta_a + k \frac{1}{2} \rho V^2 \delta_a$$

Sendo a eficácia de controle dado por:

$$C_{l_{\delta_a}} = (C_{l_{\delta_a}})_{\text{rigid}} + k \frac{1}{2} \rho V^2$$

Como observado acima, $(C_{l_{\delta_a}})_{\text{rigid}}$ é negativo, e k é positivo, caso comum. Por isso $|C_{l_{\delta_a}}|$ diminui com o aumento da velocidade, e desaparece em alguma velocidade V_R , a velocidade de reversão do aileron.

$$0 = (C_{l_{\delta_a}})_{\text{rigid}} + k \frac{1}{2} \rho V_R^2$$

$$k = -(C_{l_{\delta_a}})_{\text{rigid}} / \frac{1}{2} \rho V_R^2$$

Substituindo k em $C_{l_{\delta a}}$

$$C_{l_{\delta a}} = (C_{l_{\delta a}})_{\text{rigid}} \left(1 - \frac{V^2}{V_R^2} \right)$$

Este resultado, é claro, aplica-se estritamente somente se a aerodinâmica básica não for o dependente do número de Mach, isto é, desde que a V_R esteja num valor de M sensivelmente abaixo de 1,0. De outra forma k e $(C_{l_{\delta a}})_{\text{rigid}}$ são ambas as funções de M , e a equação correspondente a é:

$$C_{l_{\delta a}}(\mathbf{M}) = (C_{l_{\delta a}})_{\text{rigid}}(\mathbf{M}) - \frac{k(\mathbf{M})}{k(\mathbf{M}_R)} (C_{l_{\delta a}})_{\text{rigid}}(\mathbf{M}_R) \frac{V^2}{V_R^2}$$

Sendo M_R o número de Mach de reversão do aileron